

# SLAM 問題の定式化

にゃーん

2019 年 11 月 4 日

## 1 SLAM 問題の分類

SLAM(スラム)は Simultaneous Localization And Mapping の略称であり、自己位置推定と地図構築を同時に行う問題である。移動ロボットが、周囲の環境の地図を持たず、また自己の姿勢も分からないという状況にあるとき、環境の地図を構築しながら、その地図上での自己位置を推定しなければならない。しかし、ロボットが計測データを使って地図を生成するためには、ロボットの自己位置が必要であり、またロボットの自己位置を推定するためには地図が必要である。即ち、自己位置推定と地図構築は相互依存の関係にあるため、SLAM の問題を解くのは一層困難になる。

### 1.1 オンライン SLAM 問題

SLAM 問題は、オンライン SLAM 問題 (Online SLAM) と完全 SLAM 問題 (Full SLAM) の 2 種類に分けられる [1][2]。オンライン SLAM 問題では、時刻  $t$  における姿勢  $x_t$  地図  $m$  の事後確率  $p(x_t, m | z_{1:t}, u_{1:t})$  を求める。オンライン SLAM はその名の通り、各時刻において事後確率を求める、逐次的なアルゴリズムである。以下の漸化式を利用すれば、時刻  $t$  における事後確率  $p(x_t, m | z_{1:t}, u_{1:t})$  を、時刻  $t-1$  における事後確率  $p(x_{t-1}, m | z_{1:t-1}, u_{1:t-1})$  から求められる。ベイズフィルタの導出と同様にして、漸化式は次のように得られる。

$$\begin{aligned} & p(x_t, m | z_{1:t}, u_{1:t}) \\ &= \frac{p(z_t | x_t, m, z_{1:t-1}, u_{1:t}) p(x_t, m | z_{1:t-1}, u_{1:t})}{p(z_t | z_{1:t-1}, u_{1:t})} \quad (\because \text{ベイズの定理}) \end{aligned} \quad (1)$$

$$= \eta p(z_t | x_t, m, z_{1:t-1}, u_{1:t}) p(x_t, m | z_{1:t-1}, u_{1:t}) \quad (2)$$

$$= \eta p(z_t | x_t, m) p(x_t, m | z_{1:t-1}, u_{1:t}) \quad (3)$$

ここで  $\eta = p(z_t | z_{1:t-1}, u_{1:t})$  は、現在の状態  $x_t$  と地図  $m$  には依存しないため、定数項として扱っている。最後の式変形では、現在の計測  $z_t$  は、現在の姿勢  $x_t$  と地図  $m$  によって決まり、それ以外の変数 ( $z_{1:t-1}, u_{1:t}$ ) とは独立であることを利用している。右側の項  $p(x_t, m | z_{1:t-1}, u_{1:t})$  は次のように、変数  $x_{t-1}$  に関する周辺化として記述される。

$$\begin{aligned} & p(x_t, m | z_{1:t-1}, u_{1:t}) \\ &= \int p(x_t, x_{t-1}, m | z_{1:t-1}, u_{1:t}) dx_{t-1} \end{aligned} \quad (4)$$

$$= \int p(x_t | x_{t-1}, m, z_{1:t-1}, u_{1:t}) p(x_{t-1}, m | z_{1:t-1}, u_{1:t}) dx_{t-1} \quad (5)$$

$$= \int p(x_t | x_{t-1}, u_t) p(x_{t-1}, m | z_{1:t-1}, u_{1:t-1}) dx_{t-1} \quad (6)$$

最後の式変形では、マルコフ性の仮定から、現在の状態  $x_t$  は、直前の状態  $x_{t-1}$  と制御  $u_t$  のみに依存し、従ってそれ以外の変数 ( $m, z_{1:t-1}, u_{1:t}$ ) とは独立であることを利用している。また時刻  $t-1$  における状態  $x_{t-1}$  は、未来の時刻  $t$  における制御  $u_t$  とは関係ないことも利用している。地図  $m$  が現在の状態  $x_t$  の推定に何らかの有益な情報をもたらす場合、 $x_t$  は  $m$  とは独立にはならず、 $p(x_t | x_{t-1}, u_t) \neq p(x_t | x_{t-1}, u_t, m)$  となる。しかし、ここでは  $x_t$  が  $m$  とは独立と仮定している。このとき漸化式は以下のようなになる。

$$p(x_t, m | z_{1:t}, u_{1:t}) = \eta p(z_t | x_t, m) \int p(x_t | x_{t-1}, u_t) p(x_{t-1}, m | z_{1:t-1}, u_{1:t-1}) dx_{t-1} \quad (7)$$

漸化式には、状態遷移確率  $p(x_t|x_{t-1}, u_t)$  と計測確率  $p(z_t|x_t, m)$  の双方が含まれている。最初に制御  $u_t$  を用いて、直前の事後確率  $p(x_{t-1}, m|z_{1:t-1}, u_{1:t-1})$  と状態遷移確率  $p(x_t|x_{t-1}, u_t)$  の積を周辺化し、現在の状態  $x_t$  に関する予測を確率分布  $p(x_t, m|z_{1:t-1}, u_{1:t})$  として得る。次に計測  $z_t$  を用いて、確率分布  $p(x_t, m|z_{1:t-1}, u_{1:t})$  と計測確率  $p(z_t|x_t, m)$  との積を求め、時刻  $t$  における事後確率  $p(x_t, m|z_{1:t}, u_{1:t})$  を得る。即ち事後確率の更新は、予測と修正の 2 ステップに分けられる。制御  $u_t$  を使って状態  $x_t$  に関する予測を立てた後、計測  $z_t$  を使って予測を修正し、かつ現在の地図  $m$  に対する推定を行う。これよりオンライン SLAM 問題は、拡張カルマンフィルタやパーティクルフィルタのような、ベイズフィルタの枠組みで計算できる。

オンライン SLAM 問題は、図 1 に示すような確率モデルとして表現される。図 1 では、現在の状態  $x_t$  は直前の状態  $x_{t-1}$  と制御  $u_t$  にも依存することと、計測  $z_t$  は現在の状態  $x_t$  と地図  $m$  にも依存することの両方が表現される。状態遷移確率  $p(x_t|x_{t-1}, u_t)$  と計測確率  $p(z_t|x_t, m)$  の形から、変数間の依存関係は明らかである。またオンライン SLAM 問題において推定したい変数は、図 1 では濃い灰色で囲われている。

## 1.2 完全 SLAM 問題

完全 SLAM 問題では、時刻  $t$  における姿勢  $x_t$  ではなく、全時刻における軌跡  $x_{1:t}$  に対して、事後確率が計算される。事後確率は  $p(x_{1:t}, m|z_{1:t}, u_{1:t})$  のように表され、オンライン SLAM における事後確率  $p(x_t, m|z_{1:t}, u_{1:t})$  との関係は、以下のように周辺化として記述される。

$$p(x_t, m|z_{1:t}, u_{1:t}) = \int \int \cdots \int p(x_{1:t}, m|z_{1:t}, u_{1:t}) dx_1 dx_2 \cdots dx_{t-1} \quad (8)$$

完全 SLAM 問題は、Rao-Blackwellized パーティクルフィルタ (FastSLAM) や GraphSLAM を用いて解くことができる。前者は完全 SLAM 問題をオンラインで、後者はオフラインで解くアルゴリズムである。また前者はベイズフィルタ、後者は非線形最適化ベースの手法である。完全 SLAM 問題は、図 2 に示すような確率モデルとして表現される。変数間のグラフ構造は先程の図 1 と同一のものである。完全 SLAM において推定したいのは、ロボットの完全な軌跡  $x_{1:t}$  と地図  $m$  であり、それらの変数が濃い灰色で囲われている。

完全 SLAM 問題についても次のような漸化式が得られ、時刻  $t-1$  における事後確率  $p(x_{1:t-1}, m|z_{1:t-1}, u_{1:t-1})$  から、時刻  $t$  における事後確率  $p(x_{1:t}, m|z_{1:t}, u_{1:t})$  が求まる。導出はオンライン SLAM 問題のときと殆ど同様である。

$$\begin{aligned} & p(x_{1:t}, m|z_{1:t}, u_{1:t}) \\ = & \frac{p(z_t|x_{1:t}, m, z_{1:t-1}, u_{1:t})p(x_{1:t}, m|z_{1:t-1}, u_{1:t})}{p(z_t|z_{1:t-1}, u_{1:t})} \\ = & \eta p(z_t|x_{1:t}, m, z_{1:t-1}, u_{1:t})p(x_{1:t}, m|z_{1:t-1}, u_{1:t}) \\ = & \eta p(z_t|x_t, m)p(x_{1:t}, m|z_{1:t-1}, u_{1:t}) \\ = & \eta p(z_t|x_t, m)p(x_t|x_{1:t-1}, m, z_{1:t-1}, u_{1:t})p(x_{1:t-1}, m|z_{1:t-1}, u_{1:t}) \\ = & \eta p(z_t|x_t, m)p(x_t|x_{t-1}, u_t)p(x_{1:t-1}, m|z_{1:t-1}, u_{1:t-1}) \end{aligned} \quad (9)$$

$\eta = p(z_t|z_{1:t-1}, u_{1:t})$  は、ロボットの軌跡  $x_{1:t}$  と地図  $m$  の双方に依存しないため定数項として扱う。また現在の計測  $z_t$  は、現在の姿勢  $x_t$  と地図のみによって決まることから、 $p(z_t|x_{1:t}, m, z_{1:t-1}, u_{1:t}) = p(z_t|x_t, m)$  が成立する。更に現在の姿勢  $x_t$  は、直前の状態  $x_{t-1}$  と制御  $u_t$  のみに依存することから、 $p(x_t|x_{1:t-1}, m, z_{1:t-1}, u_{1:t}) = p(x_t|x_{t-1}, u_t)$  である。最後の式の最右項は  $x_{1:t-1}$  と  $m$  に関する確率分布であり、未来の時刻  $t$  における制御  $u_t$  とは独立であるため、 $p(x_{1:t-1}, m|z_{1:t-1}, u_{1:t}) = p(x_{1:t-1}, m|z_{1:t-1}, u_{1:t-1})$  がいえる。オンライン SLAM 問題のときとは異なり、周辺化のための積分が出現しないことに注目する。漸化式を次々に展開していくと次のようになる。

$$\begin{aligned} & p(x_{1:t}, m|z_{1:t}, u_{1:t}) \\ = & \eta p(z_t|x_t, m)p(x_t|x_{t-1}, u_t)p(x_{1:t-1}, m|z_{1:t-1}, u_{1:t-1}) \\ = & \eta p(z_t|x_t, m)p(x_t|x_{t-1}, u_t)p(z_{t-1}|x_{t-1}, m)p(x_{t-1}|x_{t-2}, u_{t-1})p(x_{1:t-2}, m|z_{1:t-2}, u_{1:t-2}) \\ & \dots \\ = & \eta p(x_0, m) \prod_{t=1}^t p(z_t|x_t, m)p(x_t|x_{t-1}, u_t) \end{aligned} \quad (10)$$

上式から、完全 SLAM 問題を解くために本質的に必要なのは、状態遷移確率  $p(x_t|x_{t-1}, u_t)$ 、計測確率  $p(z_t|x_t, m)$ 、そして初期状態に関する確率  $p(x_0, m)$  の 3 つだと分かる。

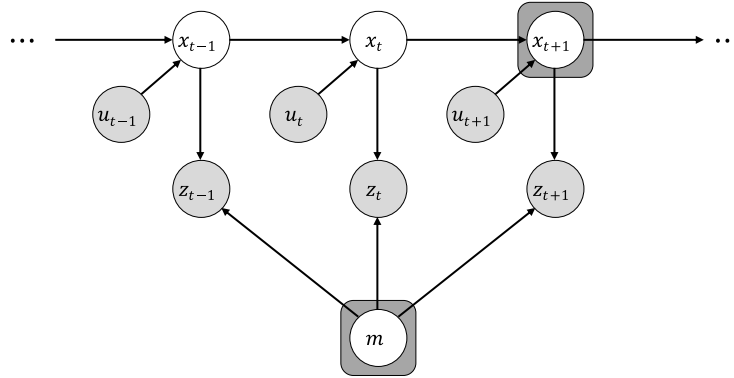


図 1 オンライン SLAM 問題の確率モデル

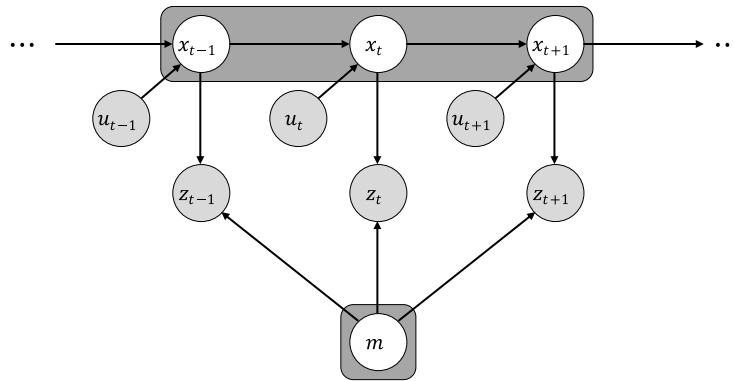


図 2 完全 SLAM 問題の確率モデル

### 1.3 地図と計測の対応付け

上記では地図  $m$  の具体的な表現については言及されなかった。ここでは例として、ロボットにレーザスキャナ (レーザレンジファインダ) を装着する場合を考える。このとき計測  $z_t$  はスキャンデータとよばれ、点群、即ち物体上の点までの距離  $r$  と方向  $\theta$  の集合として記述される。地図として点群 (特徴ベースの地図) を用いるとき、スキャンデータ  $z_t$  に含まれる各点が、地図上のどの点と対応するのか判定する必要がある。このようなスキャンデータと地図との対応関係を、変数  $c_t$  として明示的に導入するのは有効である。また占有格子地図 (位置ベースの地図) を用いるときも、スキャンデータ  $z_t$  を構成する各点と、地図上の格子との対応関係を考えることはできる。地図  $m$  と計測  $z_t$  との対応付け変数  $c_t$  を用いると、オンライン SLAM 問題における事後確率は以下ようになる。

$$p(x_t, m, c_t | z_{1:t}, u_{1:t}) \quad (11)$$

また完全 SLAM 問題の事後確率は次のように表される [1][3][4]。

$$p(x_{1:t}, m, c_{1:t} | z_{1:t}, u_{1:t}) \quad (12)$$

オンライン SLAM 問題での事後確率  $p(x_t, m, c_t | z_{1:t}, u_{1:t})$  は、完全 SLAM 問題での事後確率の周辺化として記述される。

$$p(x_t, m, c_t | z_{1:t}, u_{1:t}) = \int \int \cdots \int \sum_{c_1} \sum_{c_2} \cdots \sum_{c_{t-1}} p(x_{1:t}, m, c_{1:t} | z_{1:t}, u_{1:t}) dx_1 dx_2 \cdots dx_{t-1} \quad (13)$$

対応付け変数  $c_t$  が既知であれば、オンライン SLAM 問題と完全 SLAM 問題における事後確率は、それぞれ次のようになる。先程とは異なり、計測確率の条件変数に  $c_t$  が加わって  $p(z_t | x_t, m, c_t)$  となる。

$$p(x_t, m | z_{1:t}, u_{1:t}, c_{1:t}) = \eta p(z_t | x_t, m, c_t) \int p(x_t | x_{t-1}, u_t) p(x_{t-1}, m | z_{1:t-1}, u_{1:t-1}, c_{1:t-1}) dx_{t-1} \quad (14)$$

$$p(x_{1:t}, m | z_{1:t}, u_{1:t}, c_{1:t}) = \eta p(z_t | x_t, m, c_t) p(x_t | x_{t-1}, u_t) p(x_{1:t-1}, m | z_{1:t-1}, u_{1:t-1}, c_{1:t-1}) \quad (15)$$

$$= \eta p(x_0, m) \prod_{t=1}^t p(z_t | x_t, m, c_t) p(x_t | x_{t-1}, u_t) \quad (16)$$

計測  $z_t$  には一般に複数個のデータが含まれるが、ここでは各データ  $z_t^i$  については互いに独立と仮定する。このとき計測確率は次のように、各データ  $z_t^i$  に関する項の積として記述できる。各データ  $z_t^i$  に割り振られる対応付け変数は  $c_t^i$  と表す。

$$p(z_t | x_t, m, c_t) = \prod_i p(z_t^i | x_t, m, c_t^i) \quad (17)$$

このとき完全 SLAM 問題は以下のように記述される。

$$p(x_{1:t}, m | z_{1:t}, u_{1:t}, c_{1:t}) = \eta p(x_0, m) \prod_{t=1}^t p(x_t | x_{t-1}, u_t) \prod_i p(z_t^i | x_t, m, c_t^i) \quad (18)$$

## 1.4 完全 SLAM 問題の分解

完全 SLAM 問題の事後確率は  $p(x_{1:t}, m, c_{1:t} | z_{1:t}, u_{1:t})$  であった。対応付け変数  $c_{1:t}$  が既知、即ち計測  $z_{1:t}$  と地図  $m$  との対応関係が完全に分かっているとき、完全 SLAM 問題は次の事後確率の推定となる。

$$p(x_{1:t}, m | z_{1:t}, u_{1:t}, c_{1:t}) \quad (19)$$

地図  $m$  の構成要素を  $\{m_1, m_2, \dots, m_N\}$  と記述すると、上記の事後確率は次のように  $N + 1$  個の項に分解できる。各構成要素  $m_n$  は、点群地図 (位置ベースの地図) であれば個々の点、占有格子地図 (特徴ベースの地図) であれば単一の格子を意味する。軌跡  $x_{1:t}$  が既知であれば、地図の各構成要素  $m_n$  は互いに独立になるため、地図  $m$  の推定は  $N$  個の各要素  $m_n$  の推定問題に分解できる。即ち完全 SLAM 問題は、対応関係  $c_{1:t}$  が既知であれば、軌跡  $x_{1:t}$  の推定と、地図の各構成要素  $m_n$  の推定という  $N + 1$  個の問題に分割される。これより、最初に軌跡  $x_{1:t}$  のみを推定し、その軌跡を用いて地図の各要素  $m_n$  を個別に推定するという 2 段階の処理にできる。全時刻における状態  $x_{1:t}$  と地図  $m$  を一度に推定しようとする、途方もない計算が必要となる。地図  $m$  は大規模になる可能性があり、このとき解くべき問題は非常に高次元になる。高次元な空間に広がる確率分布  $p(x_{1:t}, m | z_{1:t}, u_{1:t}, c_{1:t})$  から、最大値を取るような解を探るのは手間が掛かる。以下のように確率分布を  $N + 1$  個の項に分割すれば、各項を最大化する問題に置き換えられ、 $x_{1:t}$  及び  $m_n$  の推定という低次元の問題に分割されるため、計算量を大幅に削減できる。

$$p(x_{1:t}, m | z_{1:t}, u_{1:t}, c_{1:t}) = p(x_{1:t} | z_{1:t}, u_{1:t}, c_{1:t}) \prod_{n=1}^N p(m_n | x_{1:t}, z_{1:t}, u_{1:t}, c_{1:t}) \quad (20)$$

上式の確率モデルは図 3 のように表現される。図 3 は、各時刻において計測データが一つであり、地図中のどれか一つの要素を観測する場合である。対応付け変数  $c_t = j$  が既知であることから、時刻  $t$  における計測  $z_t$  は、地図中の単一要素  $m_j$  に対するものだと分かる。時刻  $t + 1$  と  $t + 2$  では、対応付け変数  $c_{t+1}$  と  $c_{t+2}$  がいずれも  $k$  を指し示しており、従って同一の要素  $m_k$  が観測されている。ある時刻において複数の計測データが含まれ、地図中の複数の要素が同時に観測される場合は (複数の計測データが地図中の同一の要素を指すこともあり得る)、それと同じ個数だけ対応付けの変数を用意すればよい。例えば各時刻において 10 個の計測データが得られるとき、その一つ一つが地図中のどの要素に対応するのかを示すために、各データについて 10 個の対応付け変数を導入すればよい。先程と同様に、計測データ  $z_t = \{z_t^i\}$  について、各データ  $z_t^i$  に割り振られた対応付け変数を  $c_t^i$  と表す。

図 3 に描かれた地図の各要素  $m_i, m_j, m_k$  をみると、いずれも状態変数  $x_{t-1}, x_t, x_{t+1}, x_{t+2}$  を通じて間接的に接続されている。状態変数  $x_{t-1}, x_t, x_{t+1}, x_{t+2}$  を通過することなく、地図中の 2 つの要素を結ぶようなパスは存在しないことから、全時刻における状態 (軌跡) が既知であれば、地図中の各要素  $m_i, m_j, m_k$  は互いに独立になることが分かる。例えば、 $m_j$  の推定には軌跡  $x_{1:t}$ 、制御  $u_{1:t}$ 、計測  $z_{1:t}$ 、そして対応付け変数  $c_{1:t}$  があれば十分であり、地図中の別の要素  $m_i$  は必要ではないため、要素  $m_i$  が正確に推定されても、 $m_j$  の推定には何ら影響を与えない。

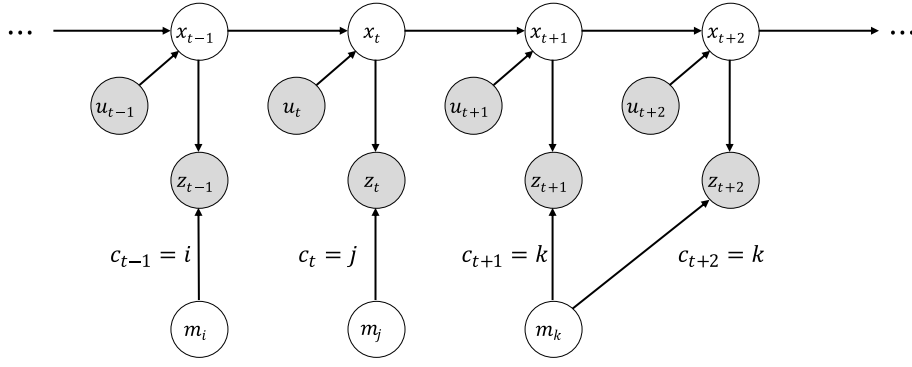


図3 完全 SLAM 問題の分解

事後確率の分解を導出するために、まずは事後確率  $p(x_{1:t}, m | z_{1:t}, u_{1:t}, c_{1:t})$  を次のように分解する。この証明は文献 [1] の 13.2 節を基にしている。

$$p(x_{1:t}, m | z_{1:t}, u_{1:t}, c_{1:t}) = p(x_{1:t} | z_{1:t}, u_{1:t}, c_{1:t}) p(m | x_{1:t}, z_{1:t}, u_{1:t}, c_{1:t}) \quad (21)$$

第 2 項が、各要素  $m_n$  についての分布  $p(m_n | x_{1:t}, z_{1:t}, u_{1:t}, c_{1:t})$  の積として記述できることを、数学的帰納法によって示す。

$$p(m | x_{1:t}, z_{1:t}, u_{1:t}, c_{1:t}) = \prod_{n=1}^N p(m_n | x_{1:t}, z_{1:t}, u_{1:t}, c_{1:t}) \quad (22)$$

時刻  $t = 0$  のときは明らかに成立する。ロボットはまだ制御や計測を受け取っておらず、地図に関する知識を一切持たないため、地図の各要素  $m_n$  は互いに独立だからである。

$$p(m) = \prod_{n=1}^N p(m_n) \quad (23)$$

時刻  $t - 1$  において上記の分解が成り立っているとき、時刻  $t$  についても成り立つことを示す。

$$p(m | x_{1:t-1}, z_{1:t-1}, u_{1:t-1}, c_{1:t-1}) = \prod_{n=1}^N p(m_n | x_{1:t-1}, z_{1:t-1}, u_{1:t-1}, c_{1:t-1}) \quad (24)$$

地図の各要素  $m_n$  について、時刻  $t$  で観測されたかどうかで場合分けを行う。観測されていれば、時刻  $t$  で得られた計測データ  $z_t$  の中には地図  $m_n$  に対応するものがあり ( $z_t^n$  とする)、対応付け変数  $c_t$  には  $n$  が含まれている ( $c_t^n$  とする)。時刻  $t$  で観測された要素の集合を  $\mathcal{X}_t \subseteq \{1, \dots, N\}$  とすると、 $\mathcal{X}_t$  の各要素  $n \in \mathcal{X}_t$  について以下のようにできる。分母の第 2 項  $p(m_n | x_{1:t}, z_{1:t-1}, u_{1:t}, c_{1:t})$  の変形では、時刻  $t - 1$  までの観測  $z_{1:t-1}$  が条件となっており、従って時刻  $t$  におけるロボットの状態  $x_t$  や制御  $u_t$ 、対応付け変数  $c_t$  について独立となることを利用している。図 3 をみれば分かるように、時刻  $t$  で観測された地図の要素  $m_n$  は、時刻  $t$  における計測データ  $z_t$  と対応変数  $c_t$  を通じて状態  $x_t$  と関係しているため、時刻  $t - 1$  までの計測データ  $z_{1:t-1}$  の条件下では、 $m_n$  は対応変数  $c_t$  や状態  $x_t$  とは無関係になる。

$$p(m_n | x_{1:t}, z_{1:t}, u_{1:t}, c_{1:t}) = \frac{p(z_t^n | m_n, x_{1:t}, z_{1:t-1}, u_{1:t}, c_{1:t}) p(m_n | x_{1:t}, z_{1:t-1}, u_{1:t}, c_{1:t})}{p(z_t^n | x_{1:t}, z_{1:t-1}, u_{1:t}, c_{1:t})} \quad (25)$$

$$= \frac{p(z_t^n | m_n, x_t, c_t^n) p(m_n | x_{1:t-1}, z_{1:t-1}, u_{1:t-1}, c_{1:t-1})}{p(z_t^n | x_{1:t}, z_{1:t-1}, u_{1:t}, c_{1:t})} \quad (26)$$

これより 1 時刻前までのデータによる  $m_n$  の事後確率について、次の式が得られる。

$$p(m_n | x_{1:t-1}, z_{1:t-1}, u_{1:t-1}, c_{1:t-1}) = \frac{p(m_n | x_{1:t}, z_{1:t}, u_{1:t}, c_{1:t}) p(z_t^n | x_{1:t}, z_{1:t-1}, u_{1:t}, c_{1:t})}{p(z_t^n | m_n, x_t, c_t^n)} \quad (27)$$

地図の要素  $m_n$  が、時刻  $t$  で観測されていない場合を考える ( $m_n \notin \mathcal{X}_t$ )。このとき  $m_n$  の事後確率は、1 時刻前までのデータによって決まり、時刻  $t$  におけるロボットの状態  $x_t$  や制御  $u_t$ 、対応付け変数  $c_t$  や計測  $z_t$  とは無関係になる。従って単に以下の式が成り立つ。

$$p(m_n | x_{1:t}, z_{1:t}, u_{1:t}, c_{1:t}) = p(m_n | x_{1:t-1}, z_{1:t-1}, u_{1:t-1}, c_{1:t-1}) \quad (28)$$

上式の左辺と右辺を入れ替えれば以下のようになる。

$$p(m_n|x_{1:t-1}, z_{1:t-1}, u_{1:t-1}, c_{1:t-1}) = p(m_n|x_{1:t}, z_{1:t}, u_{1:t}, c_{1:t}) \quad (29)$$

以上より  $p(m_n|x_{1:t-1}, z_{1:t-1}, u_{1:t-1}, c_{1:t-1})$  は、 $m_n$  が時刻  $t$  で観測されたかどうかによって、次のように場合分けできる。

$$p(m_n|x_{1:t-1}, z_{1:t-1}, u_{1:t-1}, c_{1:t-1}) = \begin{cases} \frac{p(m_n|x_{1:t}, z_{1:t}, u_{1:t}, c_{1:t})p(z_t^n|x_{1:t}, z_{1:t-1}, u_{1:t}, c_{1:t})}{p(z_t^n|m_n, x_t, c_t^n)} & (x \in \mathcal{X}_t) \\ p(m_n|x_{1:t}, z_{1:t}, u_{1:t}, c_{1:t}) & (x \notin \mathcal{X}_t) \end{cases} \quad (30)$$

これより、時刻  $t$  においても分解が成り立つことを示せる。

$$\begin{aligned} & p(m|x_{1:t}, z_{1:t}, u_{1:t}, c_{1:t}) \\ &= \frac{p(z_t|m, x_{1:t}, z_{1:t-1}, u_{1:t}, c_{1:t})p(m|x_{1:t}, z_{1:t-1}, u_{1:t}, c_{1:t})}{p(z_t|x_{1:t}, z_{1:t-1}, u_{1:t}, c_{1:t})} \quad (\because \text{ベイズの定理}) \\ &= \frac{p(z_t|m, x_t, c_t)p(m|x_{1:t-1}, z_{1:t-1}, u_{1:t-1}, c_{1:t-1})}{p(z_t|x_{1:t}, z_{1:t-1}, u_{1:t}, c_{1:t})} \\ &= \frac{p(z_t|m, x_t, c_t)}{p(z_t|x_{1:t}, z_{1:t-1}, u_{1:t}, c_{1:t})} p(m|x_{1:t-1}, z_{1:t-1}, u_{1:t-1}, c_{1:t-1}) \end{aligned} \quad (31)$$

上式の第1項は、時刻  $t$  で観測された、地図の各要素  $n \in \mathcal{X}_t$  に関する項に分解できる。計測データに含まれる各計測については、互いに独立と仮定した。計測  $z_t$  に含まれる、各要素  $n \in \mathcal{X}_t$  に対応するものは  $z_t^n$ 、そして対応付け変数は便宜的に  $c_t^n$  で表す。 $n$  は地図の各要素を指すインデックスであって、何番目の計測データかを表すインデックスではない。 $c_t^n$  は明らかに  $n$  を指している (前節での  $z_t^i$  と  $c_t^i$  の定義とは若干異なることに注意)。

$$p(z_t|m, x_t, c_t) = \prod_{n \in \mathcal{X}_t} p(z_t^n|m_n, x_t, c_t^n) \quad (32)$$

$$p(z_t^n|x_{1:t}, z_{1:t-1}, u_{1:t}, c_{1:t}) = \prod_{n \in \mathcal{X}_t} p(z_t^n|x_{1:t}, z_{1:t-1}, u_{1:t}, c_{1:t}) \quad (33)$$

これを元の式に代入すれば次を得る。

$$\begin{aligned} & p(m|x_{1:t}, z_{1:t}, u_{1:t}, c_{1:t}) \\ &= \frac{\prod_{n \in \mathcal{X}_t} p(z_t^n|m_n, x_t, c_t^n)}{\prod_{n \in \mathcal{X}_t} p(z_t^n|x_{1:t}, z_{1:t-1}, u_{1:t}, c_{1:t})} p(m|x_{1:t-1}, z_{1:t-1}, u_{1:t-1}, c_{1:t-1}) \\ &= \frac{\prod_{n \in \mathcal{X}_t} p(z_t^n|m_n, x_t, c_t^n)}{\prod_{n \in \mathcal{X}_t} p(z_t^n|x_{1:t}, z_{1:t-1}, u_{1:t}, c_{1:t})} \prod_{n=1}^N p(m_n|x_{1:t-1}, z_{1:t-1}, u_{1:t-1}, c_{1:t-1}) \quad (\text{帰納法の仮定}) \\ &= \frac{\prod_{n \in \mathcal{X}_t} p(z_t^n|m_n, x_t, c_t^n)}{\prod_{n \in \mathcal{X}_t} p(z_t^n|x_{1:t}, z_{1:t-1}, u_{1:t}, c_{1:t})} \left[ \prod_{n \notin \mathcal{X}_t} p(m_n|x_{1:t-1}, z_{1:t-1}, u_{1:t-1}, c_{1:t-1}) \right] \left[ \prod_{n \in \mathcal{X}_t} p(m_n|x_{1:t-1}, z_{1:t-1}, u_{1:t-1}, c_{1:t-1}) \right] \end{aligned}$$

上記の  $p(m_n|x_{1:t-1}, z_{1:t-1}, u_{1:t-1}, c_{1:t-1})$  に、場合分けにより求めた式を代入すれば次を得る。

$$\begin{aligned} & \frac{\prod_{n \in \mathcal{X}_t} p(z_t^n|m_n, x_t, c_t^n)}{\prod_{n \in \mathcal{X}_t} p(z_t^n|x_{1:t}, z_{1:t-1}, u_{1:t}, c_{1:t})} \left[ \prod_{n \notin \mathcal{X}_t} p(m_n|x_{1:t}, z_{1:t}, u_{1:t}, c_{1:t}) \right] \\ & \left[ \prod_{n \in \mathcal{X}_t} \frac{p(m_n|x_{1:t}, z_{1:t}, u_{1:t}, c_{1:t})p(z_t^n|x_{1:t}, z_{1:t-1}, u_{1:t}, c_{1:t})}{p(z_t^n|m_n, x_t, c_t^n)} \right] \\ &= \frac{\prod_{n \in \mathcal{X}_t} p(z_t^n|m_n, x_t, c_t^n)}{\prod_{n \in \mathcal{X}_t} p(z_t^n|x_{1:t}, z_{1:t-1}, u_{1:t}, c_{1:t})} \left[ \prod_{n \notin \mathcal{X}_t} p(m_n|x_{1:t}, z_{1:t}, u_{1:t}, c_{1:t}) \right] \\ & \frac{\prod_{n \in \mathcal{X}_t} p(z_t^n|x_{1:t}, z_{1:t-1}, u_{1:t}, c_{1:t})}{\prod_{n \in \mathcal{X}_t} p(z_t^n|m_n, x_t, c_t^n)} \left[ \prod_{n \in \mathcal{X}_t} p(m_n|x_{1:t}, z_{1:t}, u_{1:t}, c_{1:t}) \right] \end{aligned}$$

分母と分子が互いに打ち消し合うので、次のような単純な式になる。

$$\begin{aligned} & \left[ \prod_{n \notin \mathcal{X}_t} p(m_n | x_{1:t}, z_{1:t}, u_{1:t}, c_{1:t}) \right] \left[ \prod_{n \in \mathcal{X}_t} p(m_n | x_{1:t}, z_{1:t}, u_{1:t}, c_{1:t}) \right] \\ &= \prod_{n=1}^N p(m_n | x_{1:t}, z_{1:t}, u_{1:t}, c_{1:t}) \end{aligned} \quad (34)$$

従って、対応関係  $c_{1:t}$  が既知であるときの、完全 SLAM 問題の事後確率  $p(x_{1:t}, m | z_{1:t}, u_{1:t}, c_{1:t})$  は以下のように分解される [1][3]。

$$\begin{aligned} p(x_{1:t}, m | z_{1:t}, u_{1:t}, c_{1:t}) &= p(x_{1:t} | z_{1:t}, u_{1:t}, c_{1:t}) p(m | x_{1:t}, z_{1:t}, u_{1:t}, c_{1:t}) \\ &= p(x_{1:t} | z_{1:t}, u_{1:t}, c_{1:t}) \prod_{n=1}^N p(m_n | x_{1:t}, z_{1:t}, u_{1:t}, c_{1:t}) \end{aligned} \quad (35)$$

## 1.5 SLAM 問題の難しさ

SLAM では、連続空間における姿勢  $x_t$  や地図  $m$  の推定 (非線形最適化やフィルタ処理) だけでなく、離散的な対応付け変数  $c_t$  の推定、言い換えるとスキャンデータと地図の対応付け問題 (組み合わせ最適化問題) を解く必要がある。このように SLAM には連続的な問題と離散的な問題の双方が含まれている。連続的なパラメータ  $x_t, m$ 、離散的なパラメータ  $c_t$  の個数は、普通どちらも大きくなる。非線形最適化により  $x_t, m$  を求める場合、次元数が大きくなると局所解に陥りやすくなる。また取り得る全ての対応付け  $c_{1:t}$  の場合の数は、時刻  $t$  が大きくなるに従って指数的に増加する。これより解の候補は莫大になり、事後分布を厳密に求めることは不可能となる [1][3][4]。

## 参考文献

- [1] Sebastian Thrun, Wolfram Burgard, and Dieter Fox. 確率ロボティクス プレミアムブックス版. 株式会社マイナビ出版, 2016. 上田 隆一 訳.
- [2] 原 祥堯, 坪内 孝司, and 大島 章. 確率的に蓄積したスキャン形状により過去を考慮した Rao-Blackwellized Particle Filter SLAM. 日本機械学会論文集, 82(834):15–00421, February 2016.
- [3] 友納 正裕. 移動ロボットの環境認識 一地図構築と自己位置推定. システム制御情報学会誌, 60(12):509–514, 2016.
- [4] 友納 正裕. SLAM入門 一ロボットの自己位置推定と地図構築の技術一. オーム社, 2018.